コンクリート曲線部材の時間依存性応力解析

秋田大学大学院 学生員 〇横濱 芳 秋田大学 イット ウィサル ランデス株式会社 正会員 松岡 智 秋田大学大学院 フェロー 川上 洵

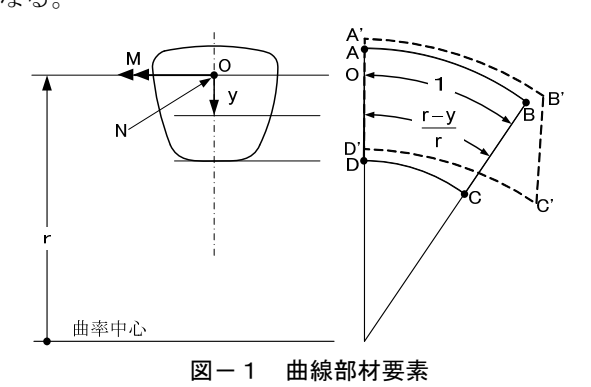
1. はじめに

曲げを受ける鉄筋コンクリート曲線部材の応力解析は、従来、曲率の影響を無視して直線部材として解析されてきた。しかし、直線部材とみなせるのは、曲率が小さい場合に限られているという欠点がある。構造物の設計には、構造特性をふまえた正確な応力状態を把握することが求められる。これまで、断面の部材厚さと曲率半径の長さとの比が 0.20 より大きいときに、曲率を考慮した解析が必要であるとされていた 1)。

一方, 曲率の影響を考慮した部材の乾燥収縮および クリープによる時間依存性応力の解析の研究実績は少なく, 技術資料の蓄積が必要である。そこで, 本研究 では, 全断面有効のコンクリート曲線部材を対象とし, その乾燥収縮およびクリープによる時間依存性応力の 解析方法示し, 計算例により構造特性を考察した。

2. 基礎式

図-1 のように、曲線部材要素 ABCD に曲げモーメント M と軸力 N が作用した場合を考える。曲線部材要素 ABCD が平面を保持したまま A'B'C'D'へと変形すると仮定する。基準点 O における要素長を 1 とすると、基準点 O から任意の位置 y における要素長は(r-y)/rとなる。



$$\varepsilon = \frac{\mathbf{r}}{\mathbf{r} - \mathbf{y}} \left(\varepsilon_{\mathbf{O}} + \phi \, \mathbf{y} \right) \tag{1}$$

$$\sigma = E\varepsilon$$
 (2)

$$N = \int \sigma \, dA \tag{3}$$

$$M = \int \sigma y dA \tag{4}$$

$$\begin{cases}
N \\
M
\end{cases} = E_c \begin{bmatrix} A_r & B_r \\ B_r & I_r \end{bmatrix} \begin{cases} \varepsilon_O \\ \phi \end{cases}$$
(5)

$$A_r = r \int \frac{dA}{r - y}, B_r = r \int \frac{y}{r - y} dA, I_r = r \int \frac{y^2}{r - y} dA$$
 (6)

$$\begin{Bmatrix} \epsilon_{O} \\ \psi \end{Bmatrix} = \frac{1}{E_{c} \left(A_{r} I_{r} - B_{r}^{2} \right)} \begin{bmatrix} I_{r} & -B_{r} \\ -B_{r} & A_{r} \end{bmatrix} \begin{Bmatrix} N \\ M \end{Bmatrix}$$
 (7)

ここで,

ε: 基準点 O から任意の位置のひずみ, E: 弾性係数,

σ: 応力, N: 軸力, M: モーメント,

A_r, B_r, I_r: 断面諸量

 ϵ_0 : 基準点 O の位置のひずみ、 ϕ : 曲率

Step 1 : 瞬間ひずみのパラメーター $\varepsilon_{O}(t_{0})$, $\phi(t_{0})$ と瞬間応力 $\sigma(t_{0})$ を計算する。

Step 2: 拘束が無い場合の、クリープと乾燥収縮による ϵ_0 と ϕ の仮想のひずみ変化を計算する。

$$\Delta \varepsilon_{\text{Ofree}} = \varepsilon_{\text{cs}} + \phi \Delta \varepsilon_{\text{O}}(t_0) \; ; \; \Delta \phi_{\text{free}} = -\frac{\varepsilon_{\text{cs}}}{r} + \phi \Delta \phi(t_0) \quad (8)$$

 ε_{cs} : 乾燥収縮ひずみ、 φ : クリープ係数

Step 3:自由ひずみを拘束した場合の、拘束応力を計算する。

$$\sigma_{\text{restrained}} = -\overline{E}_{c} \Delta \varepsilon_{\text{free}} \tag{9}$$

$$\Delta \varepsilon_{\text{free}} = \frac{r}{r - y} \left(\Delta \varepsilon_{\text{Ofree}} + \Delta \phi_{\text{free}} \ y \right) \tag{10}$$

$$\overline{E}_{c} = \frac{E_{c}(t_{0})}{1 + \chi \varphi} \tag{11}$$

こって

σ_{restrained}:拘束応力, ⊿ε_{free}:自由ひずみ

E:材齢修正弾性係数

Step 4:式(6)を使ってコンクリート断面の断面諸量 A_{cr} , B_{cr} , I_{cr} を計算する。拘束応力による拘束力を式(5)より決定する。拘束力を点 O において,軸力と曲げモーメントを作用させることにより解除すると,軸ひずみと曲率は,式(7)により得られ,そして,応力は式(2) から求められる。クリープおよび乾燥収縮により実際に生じる応力は $\sigma_{restrained}$ と $\Delta\sigma$ の和となる 2)。

キーワード 曲線部材 時間依存性応力 クリープ 乾燥収縮 連絡先 〒 101-8502 秋田県秋田市手形学園町 1-1 秋田大学 TEL 018-889-2356 E-mail m9010189@wm.akita-u.ac.jp

3. 時間依存性応力の解析例

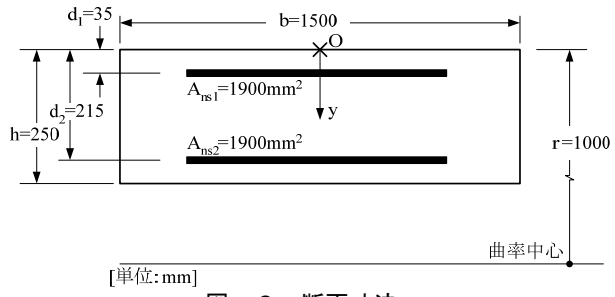


図-2 断面寸法

構造特性を明らかにするR C 曲線部材の断面を図ー 2 に示す。部材の曲率 h/r=0.25 である。材齢 t_0 で,曲 げモーメント M=30kN·m が作用する。ここで,材齢 t_0 におけるコンクリートの弾性係数 $E_c(t_0)=3.0\times10^4$ N/mm²,鉄筋の弾性係数 $E_s=2.0\times10^5$ N/mm²,乾燥収縮ひずみ $\epsilon_{cs}(t,t_0)=-300\times10^{-6}$,クリープ係数 $\phi(t,t_0)=2.0$,材齢係数 $\chi=0.8$ とする。また,応力は引張を正とした。

⇒ B W/I.			
	記号	単位	-
Step1	A_{r}	mm ²	4.564×10 ⁵
	B_r	mm ³	5.986×10 ⁷
	I_r	mm ⁴	1.030×10 ¹⁰
	$\varepsilon_0(t_0)$	-	-54×10 ⁻⁶
	$\psi\left(t_{0}\right)$	mm ⁻¹	0.408×10 ⁻⁶
	$\sigma(t_0)_{y=0}$	N/mm ²	-1.620
	$\sigma(t_0)_{y=250}$	N/mm ²	1.920
	$\sigma(t_0)_{ns1}$	N/mm ²	-8.232
	$\sigma(t_0)_{ns2}$	N/mm ²	8.591
Step2	$\varepsilon_{\rm cs}(t,t_0)$	-	-300×10 ⁻⁶
	$\chi(t,t_0)$	-	0.8
	$\varphi(t,t_0)$	•	2.0
	$\triangle \epsilon_{0 ext{free}}$	-	-408×10 ⁻⁶
	$\Delta \phi_{ m free}$	mm ⁻¹	1.116×10 ⁻⁶
Step3	$\overline{E}_{c}(t,t_{0})$	N/mm ²	11.583×10 ³
	$\overline{\mathbf{n}}$	=	17.33
	$(\sigma_{\text{restrained}})_{y=0}$	N/mm ²	4.708
	$(\sigma_{restrained})_{y=250}$	N/mm ²	1.985
Step4	$\overline{\overline{A}}_{r}$	mm^2	5.032×10 ⁵
	$\overline{\overline{\mathrm{B}}}_{\mathrm{r}}$	mm ³	6.615×10 ⁷
	\bar{I}_r	mm ⁴	1.151×10 ¹⁰
	$\triangle \epsilon_0(t,t_0)$	-	-340×10 ⁻⁶
	$\triangle \phi (t,t_0)$	mm ⁻¹	0.895×10 ⁻⁶
	$(\triangle \sigma)_{y=0}$	N/mm ²	-3.923
	$(\triangle \sigma)_{y=250}$	N/mm ²	-1.788
	$\triangle \sigma_{ns1}$	N/mm ²	-63.974
	$\triangle \sigma_{ns2}$	N/mm ²	-37.599
	$[\sigma(t)]_{y=0}$	N/mm ²	-0.835
	$[\sigma(t)]_{v=250}$	N/mm^2	2.117
	$\sigma(t)_{ns1}$	N/mm ²	-72.206
	$\sigma(t)_{ns2}$	N/mm ²	-29.008
		·	

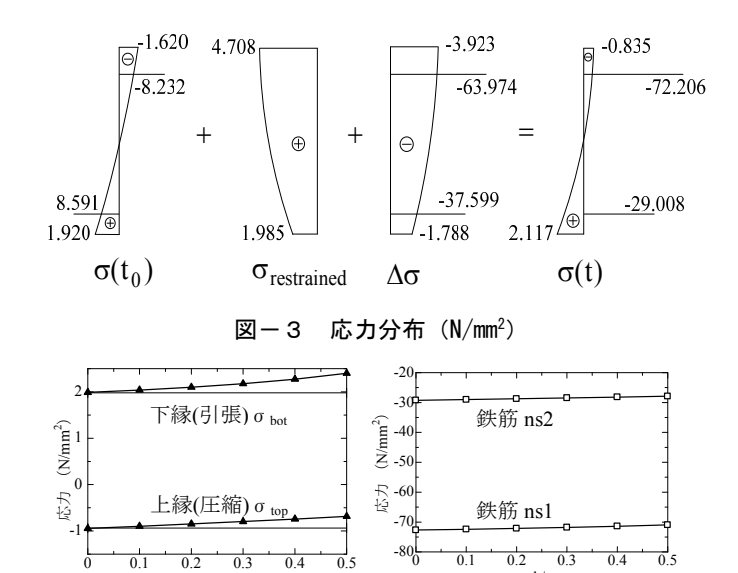


図-4 h/r による応力の変化

(b) 鉄筋

(a) コンクリート

表-1に解析結果,図-3に材齢 t_0 および材齢tのときの応力分布を示した。

図ー4に曲率 h/r を変化させたときの材齢 t におけるコンクリート上縁の応力 σ_{top} , 下縁の応力 σ_{bot} および鉄筋の応力の変化を示した。h/r が大きくなるときは曲率が大きくなり,h/r=0 のときは直線部材となる。h/r の増加にしたがって, σ_{bot} (引張応力)は増加, σ_{top} (圧縮応力)は減少する。これは,h/r が大きくなるにつれ,ひずみ分布に曲率の影響が顕著に表れてくるためである。

部材が曲率を持つ場合は、直線部材に比べ、クリープ、乾燥収縮によりコンクリートに生じる引張応力は増加する。すなわち、曲線部材を直線部材として設計することは危険側の設計となる。

4. まとめ

- (1) あらゆる曲率(h/r)を有する RC 部材に対して, 時間依存性応力解析が可能である。
- (2) 本理論における計算式は、曲率半径rを無限大 に取ることによって、直線部材における、応力算 定式と一致を見ている。
- (3) 本理論により温度応力の解析も可能である。

参考文献

1)浅井 隆一ほか: RC 曲線部材の温度応力解析, コンクリート工学年次論文報告集, Vol.15, No.2, 1993, p383~388

2)A.Ghali, A.M.Neville, 川上 洵:構造解析の基礎と応用-線形・非線形解析および有限要素法-,技報堂出版,2001